



Международная конференция
XVI Забабахинские научные чтения
г. Снежинск, РФЯЦ-ФНИИТФ, 2023

Квазигидродинамический (КГид) алгоритм при численном моделировании течения расплава в методе Чохральского

Возможности квазигазодинамического (КГД) алгоритма при его реализации в OpenFOAM

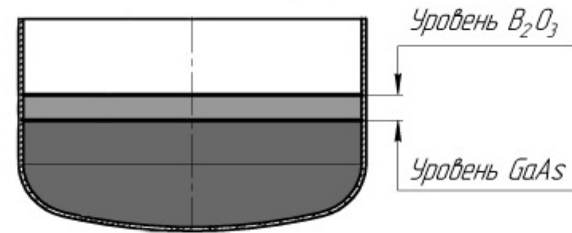
М.А. Кирюшина, Т.Г. Елизарова, А.С. Епихин

ИПМ им. М.В. Келдыша РАН, г. Москва

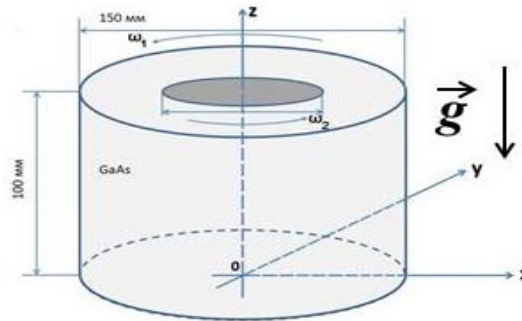
30 мая 2023 г.

План доклада

Метод Чохральского



Постановка задачи



Результаты расчета



https://github.com/m-ist/Chochralsky_mulesQHDFoam.

Тестирование. Задача о гравитационной конвекции в квадратной области

Список литературы

- [1] В.М. Пасконов, В.И. Полежаев, Л.А. Чудов Численное моделирование процессов тепло- и массообмена М.: Наука, 1984.
- [2] V. Haslavsky, E. Miroshnichenko, E. Kit, and A. Yu. Gelfgat Comparison and a possible source of disagreement between experimental and numerical results in a Czochralski model // Tech Science Press. FDMP, vol. 9, no. 3, pp. 209-234, 2013.
- [3] Reza Faiez, Farzad Najafi, Yazdan Rezaei Convection interaction in GaAs/LEC growth model // International Journal of Computational Engineering Research. ISSN (e): 2250-3005. Vol. 5, issue 7, 2015.
- [4] Гончаров А.Л., Девдариани М.Т., Простомолотов А.И., Фрязинов И.В. Аппроксимация и численный метод решения трехмерных уравнений Навье – Стокса на ортогональных сетках // Матем. моделирование. 1991. Т. 3. № 5. С. 89–109.
- [5] Бессонов О.А., Полежаев В.И. Карты режимов и пространственные эффекты конвективных взаимодействий в гидродинамической модели метода Чохральского. // Изв. РАН. МЖГ. 2014. № 2. С.16-28.
- [6] Бессонов О.А. Влияние вращения кристалла и тигля на устойчивость течения в модели метода Чохральского при низких числах Прандтля // Известия РАН. Механика жидкости и газа, 2016, № 4, с. 33-43.

Уравнения Навье-Стокса для описания течений вязкой несжимаемой теплопроводной жидкости

Приближение Буссинеска $\rho = \rho_0(1 - \beta(T - T_0)),$

Уравнение несжимаемости $div \vec{u} = 0$

Уравнение для импульса $\frac{\partial \vec{u}}{\partial t} + div(\vec{u} \otimes \vec{u}) + \frac{1}{\rho_0} \vec{\nabla} p = \frac{1}{\rho_0} div \Pi_{NS} - \beta \vec{g}(T - T_0)$

Уравнение переноса температуры $\frac{\partial T}{\partial t} + div(\vec{u}T) = \chi \Delta T$

$\vec{u} = \vec{u}(\vec{x}, t)$ – гидродинамическая скорость

$p = p(\vec{x}, t)$ – давление, отсчитываемое от гидростатического

$(\vec{u} \otimes \vec{u})$ – тензор второго ранга, результат прямого произведения двух векторов

$\Pi_{NS} = \mu \left[(\vec{\nabla} \otimes \vec{u}) + (\vec{\nabla} \otimes \vec{u})^T \right]$ – тензор вязких напряжений Навье-Стокса

μ – коэффициент динамической вязкости

χ – коэффициент температуропроводности

ν – коэффициент кинематической вязкости, $\mu = \nu \rho_0$

Получение уравнения Пуассона

Уравнение для импульса в недивергентном виде

$$\frac{\partial \vec{u}}{\partial t} = -(\vec{u} \cdot \nabla) \vec{u} + \nu \Delta \vec{u} - \frac{1}{\rho_0} \nabla p - \beta \vec{g}(T - T_0).$$

С учетом $\operatorname{div} \vec{u} = 0$ вычисляем дивергенцию от уравнения для импульса, получаем уравнение Пуассона

$$\frac{1}{\rho_0} \Delta p = -\operatorname{div}[(\vec{u} \cdot \nabla) \vec{u}] - \operatorname{div}(\beta \vec{g}(T - T_0)).$$

КГид система уравнений в приближении Буссинеска

$$\vec{u}^* = \vec{u} + \tau \frac{\partial \vec{u}}{\partial t}, p^* = p, T^* = T.$$

$$\operatorname{div}(\vec{u} - \vec{w}) = 0,$$

$$\frac{\partial \vec{u}}{\partial t} + \operatorname{div}((\vec{u} - \vec{w}) \otimes \vec{u}) + \frac{1}{\rho_0} \vec{\nabla} p = \frac{1}{\rho_0} \operatorname{div} \Pi - \beta \vec{g}(T - T_0),$$

Здесь τ – параметр регуляризации, имеет размерность времени.

$$\frac{\partial T}{\partial t} + \operatorname{div}(\vec{u} T) = \operatorname{div}(\vec{w} T) + \chi \Delta T,$$

$$\vec{w} = \frac{\tau}{\rho_0} \left[(\vec{u} \cdot \vec{\nabla}) \vec{u} + \frac{1}{\rho_0} \vec{\nabla} p - \beta \vec{g}(T - T_0) \right], \quad \Pi = \Pi_{NS} + \rho_0 \vec{u} \otimes \vec{w}.$$

Теорема об энтропии

Теорема о диссипации энергии.

$$\frac{\partial}{\partial t} \left(\rho \frac{\vec{u}^2}{2} \right) + \operatorname{div} \left[(\vec{u} - \vec{w}) \left(\rho \frac{\vec{u}^2}{2} + p \right) - \rho \vec{u} (\vec{w} \cdot \vec{u}) - (\Pi_{NS} \cdot \vec{u}) \right] = \rho \vec{F} \cdot (\vec{u} - \vec{w}) - \Phi$$

$$\Phi_{QHD} = \frac{(\Pi_{NS} : \Pi_{NS})}{2\mu} + \frac{\rho \vec{w}^2}{\tau} \quad \text{— неотрицательная диссипативная функция.}$$

Для полной кинетической энергии

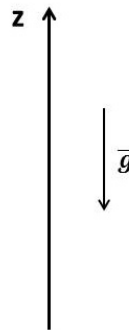
$$E = - \int_{V_0} \left(\rho \frac{\vec{u}^2}{2} \right) d\vec{x} \qquad \frac{dE(t)}{dt} = - \int_{V_0} \Phi d\vec{x}$$

$$\frac{dE(t)}{dt} \leq 0$$

Точные решения КГид системы и системы Навье-Стокса
Закон Архимеда. Распределение давления в покоящейся несжимаемой жидкости

Полагаем $\vec{F} = \vec{g}, \vec{u} = 0$

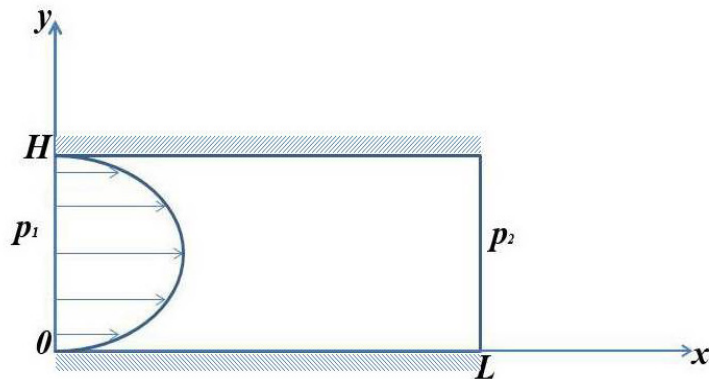
$$\nabla p = \rho \vec{g}$$


$$\frac{\partial p}{\partial x} = \frac{\partial p}{\partial y} = 0, \frac{\partial p}{\partial z} = -\rho |\vec{g}|$$
$$p = p_0 - \rho |\vec{g}| z$$

$$\vec{f}_A = \rho \vec{g} V$$

Точные решения КГид системы и системы Навье-Стокса

Течения Куэтта и Пуазейля



Ищем решение в виде

$$u_x = u(y), \quad u_y = u_z = 0, \quad p = p(x)$$

без внешних массовых сил

$$\frac{d^2 p}{dx^2} = 0 \quad \nu \eta$$

$$\frac{dp}{dx} = \mu \frac{d^2 u}{dy^2} + 2\tau u \frac{d^2 p}{dx^2}$$

С учетом граничных условий

$$p(0) = p_1, \quad p(L) = p_2, \quad u(0) = u(H) = 0$$

$$u = u_x = \frac{\Delta p}{2\mu L} y(H - y)$$

$$p = \left(1 - \frac{x}{L}\right) p_1 + \frac{x}{L} p_2$$

Вектор плотности потока массы

$$j_{mx} = \frac{\Delta p}{2\nu L} [y(H - y) + 2\tau \nu]$$

Точные решения КГид системы и системы Навье-Стокса
Движение жидкости между двумя вращающимися цилиндрами с угловыми скоростями
 Ω_1 и Ω_2

$$R_1 > R_2 \quad (r, \varphi, z)$$

$$u_\varphi = u(r) \quad u_r = u_z = 0 \quad p = p(r)$$

$$\frac{d}{dr} \left[r \left(\frac{1}{\rho} \frac{dp}{dr} - \frac{u^2}{r} \right) \right] = 0 \quad \frac{dp}{dr} = \frac{\rho u^2}{r}$$

$$\nu \left(\frac{d^2 u}{dr^2} + \frac{1}{r} \frac{du}{dr} - \frac{u}{r^2} \right) + \frac{\tau}{r} \frac{d}{dr} \left[r u \left(\frac{1}{\rho} \frac{dp}{dr} - \frac{u^2}{r} \right) \right] + \frac{\tau u}{r} \left(\frac{1}{\rho} \frac{dp}{dr} - \frac{u^2}{r} \right) = 0$$

$$\frac{d^2 u}{dr^2} + \frac{1}{r} \frac{du}{dr} - \frac{u}{r^2} = 0$$

$$\frac{dp}{dr} = \frac{\rho u^2}{r}$$

$$u(R_1) = R_1 \Omega_1 \quad u(R_2) = R_2 \Omega_2$$

Распределение скорости

$$u = \frac{\omega_2 R_2^2 - \omega_1 R_1^2}{R_2^2 - R_1^2} + \frac{(\omega_1 - \omega_2) R_1^2 R_2^2}{(R_2^2 - R_1^2) r}$$

$$j_{m\varphi} = \rho u_\varphi, j_{mr} = j_{mz} = 0$$

Сила вязкого трения

$$f_\varphi = \Pi_{r\varphi}|_{r=R_1} = \left[\mu \left(\frac{\partial u_\varphi}{\partial r} - \frac{u_\varphi}{r} \right) + \rho u_r u_\varphi \right] |_{r=R_1} = -2\mu \frac{(\omega_1 - \omega_2) R_2^3}{R_2^2 - R_1^2}$$

Точные решения КГД системы и системы Навье-Стокса

Задача о ламинарном течении Пуазейля в круглой трубе

$$\begin{aligned}
 u_z &= u(r) & u_r &= u_\varphi = 0 & p &= p(z) \\
 \Delta p &= p_1 - p_2 > 0 \\
 z_1 &= 0 \quad z_2 = L \\
 p(0) &= p_1 \quad p(L) = p_2 \\
 u(R) &= 0 \\
 \frac{d^2 p}{dz^2} &= 0 \\
 \frac{dp}{dr} &= \frac{1}{r} \frac{d}{dr} \left(r \mu \frac{du}{dr} \right) + 2ru \frac{d^2 p}{dz^2} \\
 u_z &= \frac{\Delta p}{4\mu L} (R^2 - r^2) & u_r &= u_\varphi = 0 \\
 p &= \left(1 - \frac{z}{L}\right) p_1 + \frac{z}{L} p_2 \quad \text{удовлетворяет системе Навье-Стокса}
 \end{aligned}$$

Массовый расход жидкости через круговое сечение трубы

$$Q_m = 2\pi \int_0^R r j_{mz} dr = \frac{\pi \Delta p}{8\nu L} R^2 \left[1 + 8 \frac{\tau \nu}{R^2} \right] \quad j_{mz} = \rho u_z + \frac{\tau \Delta p}{L} \quad j_{mr} = j_{m\varphi} = 0$$

КГД теория предсказывает увеличение расхода жидкости при ее течении через тонкие капилляры без использования условий скольжения

Точные решения КГид системы и системы Навье-Стокса

Течение в плоском вертикальном канале

Стационарное конвективное движение жидкости между двумя ||-ми неподвижными изотермическими плоскостями на расстоянии 2

$$u_x = 0 \quad u_y = u(x) \quad p = \text{const} \quad T = T(x) \quad |x| < 1 \quad \text{— безразмерный вид}$$

$$w_x = 0 \quad w_y = -\tau Gr T$$

$$\frac{d^2 u}{dx^2} + Gr T = 0$$
$$\frac{d^2 T}{dx^2} = 0$$

$$u(-1) = u(1) = 0, T(-1) = 1, T(1) = -1$$

$$u_y = \frac{Gr}{6} (x^3 - x) \quad T = -x$$

$$j_{mx} = 0, j_{my} = \frac{Gr}{6} (x^3 - x) - \tau Gr x$$

Слева жидкость течет вверх, справа – вниз.

$$Q_m = \int_{-1}^1 j_{my} dx = 0$$

Получение уравнения Пуассона для КГид метода

Для КГид системы уравнение Пуассона для давления непосредственно следует из уравнения неразрывности. Подставляя в уравнение неразрывности выражение для \vec{w} , получаем уравнение для давления при постоянных значениях ρ_0 и τ :

$$\frac{1}{\rho_0} \Delta p = -\text{div}[(\vec{u} \cdot \vec{\nabla})\vec{u}] + \frac{1}{\tau} \text{div}\vec{u} - \text{div}(\beta \vec{g}(T - T_0)).$$

Граничные условия для давления в этом случае являются прямым следствием поставленных в задаче граничных условий для векторов скорости \vec{u} и добавки к скорости \vec{w} .

Для твердой непроницаемой стенки в качестве граничного условия можно поставить $\vec{u}_n = 0$ и $\vec{w}_n = 0$. Из этих двух условий следует граничное условие для давления

$$\vec{\nabla} p = -\rho_0 \beta \vec{g}(T - T_0).$$

Опыт численного моделирования течений вязкой несжимаемой жидкости показал, что при больших скоростях вынужденной конвекции в численном решении уравнения переноса для температуры появляются нефизичные осцилляции.

Другой способ регуляризации КГид уравнений – добавление еще одного сглаживающего слагаемого

На малом по времени интервале сглаживания изменяется не только скорость, но и температура жидкости

$$\vec{u}^* = \vec{u} + \tau \frac{\partial \vec{u}}{\partial t}, p^* = p, T^* = T + \tau \frac{\partial T}{\partial t}.$$

Производная по времени вычисляется, исходя из недивергентного вида уравнения переноса температуры $\frac{\partial T}{\partial t} = -(\vec{u} \cdot \vec{\nabla})T + \chi \Delta T.$

Уравнение теплопроводности в КГид системе включает в себя дополнительное слагаемое

КГид система уравнений в приближении Буссинеска, включенная в открытый код OpenFOAM

$$\begin{aligned} \operatorname{div}(\vec{u} - \vec{w}) &= 0, \\ \frac{\partial \vec{u}}{\partial t} + \operatorname{div}((\vec{u} - \vec{w}) \otimes \vec{u}) + \frac{1}{\rho_0} \vec{\nabla} p &= \frac{1}{\rho_0} \operatorname{div} \Pi - \beta \vec{g}(T - T_0), \\ \frac{\partial T}{\partial t} + \operatorname{div}(\vec{u} T) &= \operatorname{div}(\vec{w} T) + \chi \Delta T + \operatorname{div}(\tau \vec{u}(\vec{u} \cdot \vec{\nabla} T)). \end{aligned}$$

Параметр регуляризации τ

Характерное гидродинамическое время τ_0 в задачах вынужденной конвекции можно определить через коэффициент кинематической вязкости ν и характерную скорость u_0 в размерном виде как $\tau_0 = \frac{\nu}{u_0^2}$.

$$\tau \sim \tau_0$$

Как показывает опыт вычислений, начиная с некоторого значения уменьшение параметра τ перестает влиять на точность численного решения.

Шаг по времени выбирается так

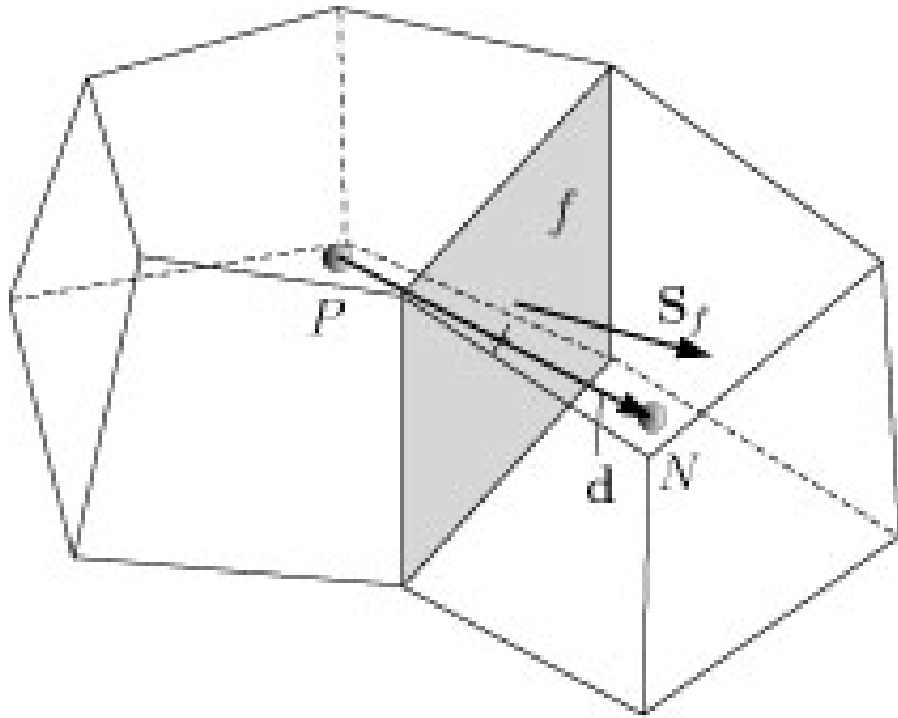
$$\Delta t < \beta \tau, \quad \beta \leq 0.5$$

$$u_0 = \omega_1 R = 3.9 * 10^{-2} \text{ м / сек} \quad \tau = 0.001 \text{ сек.}$$

$$\tau_0 = \frac{\nu}{u_0^2} = 3.3 * 10^{-4} \text{ сек}$$

$$\Delta t = 5 \cdot 10^{-4} \text{ сек.}$$

Метод конечного объема



Исходную КГид систему перепишем в общем виде

$$\frac{\partial}{\partial t} \mathbf{U} - \text{div } \mathbf{W} = 0$$

В соответствии с методом конечного объема
проинтегрируем систему по контрольному объему

$$\frac{\partial}{\partial t} \int_S \mathbf{U} dS - \oint_{\partial S} (\mathbf{W} \cdot \mathbf{n}) dl = 0$$

Аппроксимируем интеграл по контрольному объему

$$\oint_{\partial S} (\mathbf{W} \cdot \mathbf{n}) dl = \sum_i (W_x(P_{i+1/2})n_x(P_{i+1/2}) + W_y(P_{i+1/2})n_y(P_{i+1/2}))L_i$$

Реализация КГД/КГид в OpenFOAM

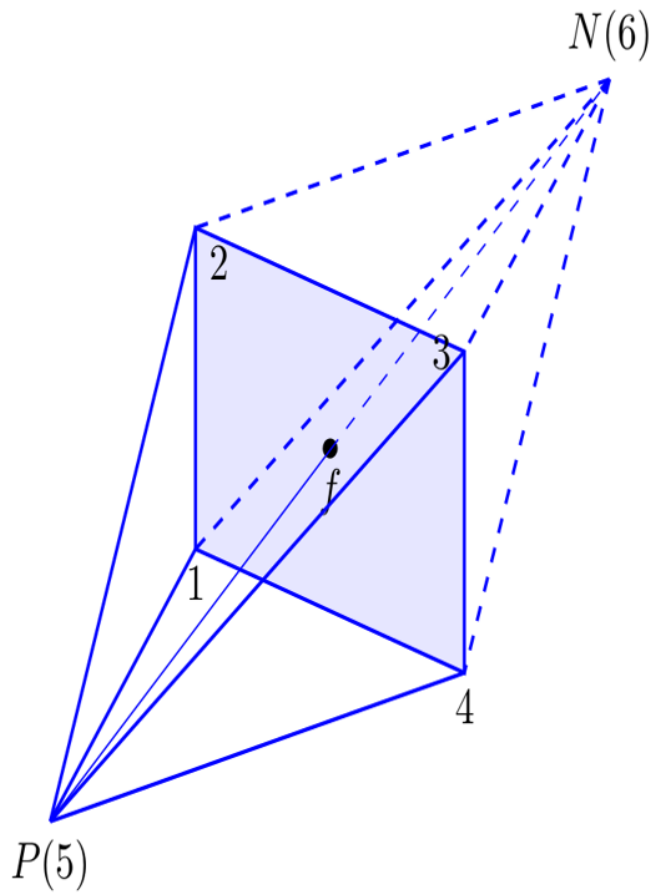
Требует доработки
OpenFOAM:

- 1) вычисление τ -слагаемых
в центрах граней
- 2) выбор способов
вычисления τ и КГД/КГид-
вязкости
- 3) бесшовная связь
параметров КГД/КГид-
алгоритма с остальными
системами OpenFOAM

Реализуется стандартными
средствами OpenFOAM:

- 1) Консервативная форма записи
уравнений
- 2) Явная схема интегрирования по
времени
- 3) Вычисление потоков интерполяцией
с центров объёмов на центры граней
- 4) Интеграция с другими моделями
(турбулентности, горения и пр.)

Варианты вычисления производных в центрах граней



fvsc:: - Методы для расчета в центрах граней градиента и дивергенции газодинамических полей, заданных в центрах ячеек

МНК - универсальный подход, но чрезвычайно требовательный к качеству сетки

Применение метода Гаусса к фиктивному контрольному объему, определенному вокруг рассматриваемой грани f . Реализован для 3- и 4-х вершинных граней (обычно 95% всей сетки), может быть расширен для любого количества вершин

Способ аппроксимации выбирается пользователем при запуске

При необходимости можно реализовать новый способ

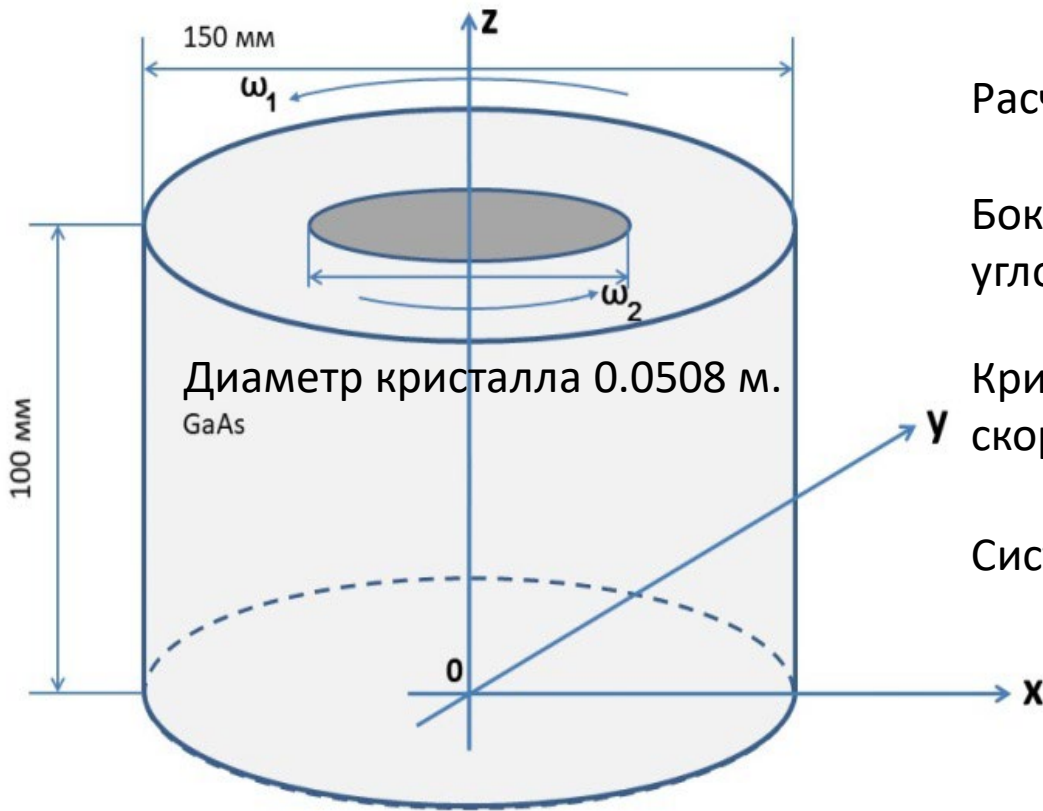
Достоинства КГид алгоритма

- Работает без потоковых лимиторов
- Монотонно сходится к решению
- Процедура аппроксимации универсальна для всех типов течений
- Статья Мат. моделирование Рязанов. Нет дополнительных итерация для выполнения условия $div \vec{u} = 0$, есть в явном виде гр. условия для давления.
- В отличие от КГД КГид-алгоритм второго порядка точности.

КГид - QHDFoam: явная схема с центральными разностями, без ограничителей потока

Постановка задачи

Прямое численное моделирование нестационарного течения расплава в методе Чохральского в полной трехмерной постановке с учетом вращения и реальных параметров расплава



Расчетная область – цилиндр.

Боковая поверхность, соединенная с дном – тигль – вращается с угловой скоростью $\omega_1 = 5 \text{ обор} / \text{мин.}$

Кристалл вращается в противоположную сторону с угловой скоростью $\omega_2 = -10 \text{ обор} / \text{мин.}$

Система находится в поле силы тяжести $g=9.81 \text{ м/сек}^2$.

Солвер mulesQHDFoam. Все величины в размерном виде.

Параметры расплава GaAs в размерном виде

Молярная масса M	144.644 г/моль
Динамическая вязкость	0.00279 кг/(м*сек)
Кинематическая вязкость	$0.49 \cdot 10^{-6} \text{ м}^2/\text{с}$
Теплопроводность при температуре расплава	0.178 Вт/(см*К)
Коэффициент теплового расширения расплава β	$1.87 \cdot 10^{-4} \text{ К}^{-1}$
Число Прандтля Pr	0.068
Плотность ρ_0	5720.0 кг/м ³
Теплоемкость при постоянном давлении C_p	434.0 Дж/(кг*К)

Начальные условия расчета

Давление p	Скорость U	Температура T
10^6 Па	(0,0,0)	1511 ° К

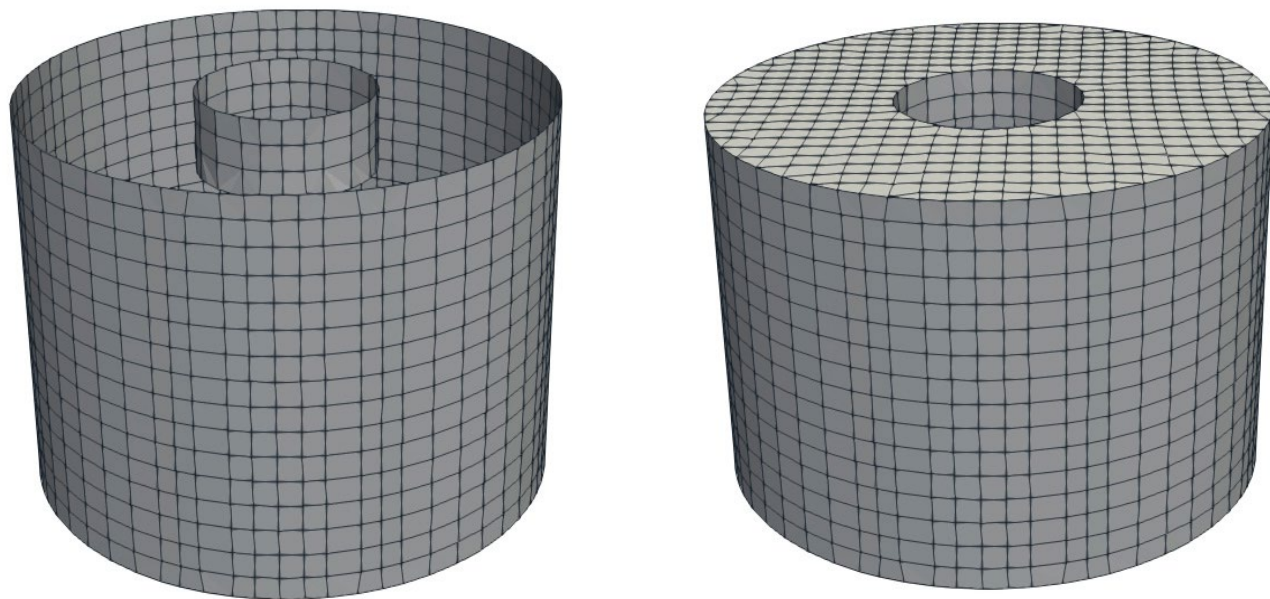
Граничные условия для основных гидродинамических величин

	Тигель	Кристалл	Свободная поверхность
Давление p	$\frac{\partial p}{\partial \mathbf{n}} = -\beta \rho_0 \vec{g}(T - T_0)$	$\frac{\partial p}{\partial \mathbf{n}} = -\beta \rho_0 \vec{g}(T - T_0)$	10^6 Па
Скорость U	$\omega_1 = 0.52 \frac{rad}{c}$	$\omega_2 = -1.04 \frac{rad}{c}$	$\vec{u}_z = 0, \frac{\partial \vec{u}_x}{\partial z} = \frac{\partial \vec{u}_y}{\partial z} = 0$
Температура T	$\frac{\partial T}{\partial \mathbf{n}} = 0$	1500 ° К	$\frac{\partial T}{\partial \mathbf{n}} = 0$

Задание граничных условий в кейсе Chochralsky_mulesQHDFoam

	Тигель (outerCylinder)	Кристалл (disk)	Свободная поверхность (outlet)
p	qhdFlux	qhdFlux	10^6 Па
U	outerCylinder {type rotatingWallVelocity; origin (0 0 0); axis (0 0 1); omega 0.52; }	Disk {type rotatingWallVelocity; origin (0 0 0); axis (0 0 1); omega -1.04; }	Slip
T	$\frac{\partial T}{\partial \mathbf{n}} = 0$	1500 ° K	$\frac{\partial T}{\partial \mathbf{n}} = 0$

Виды расчетной сетки на границах расчетной области



Построение расчетной области:

blockMesh

snappyHexMesh

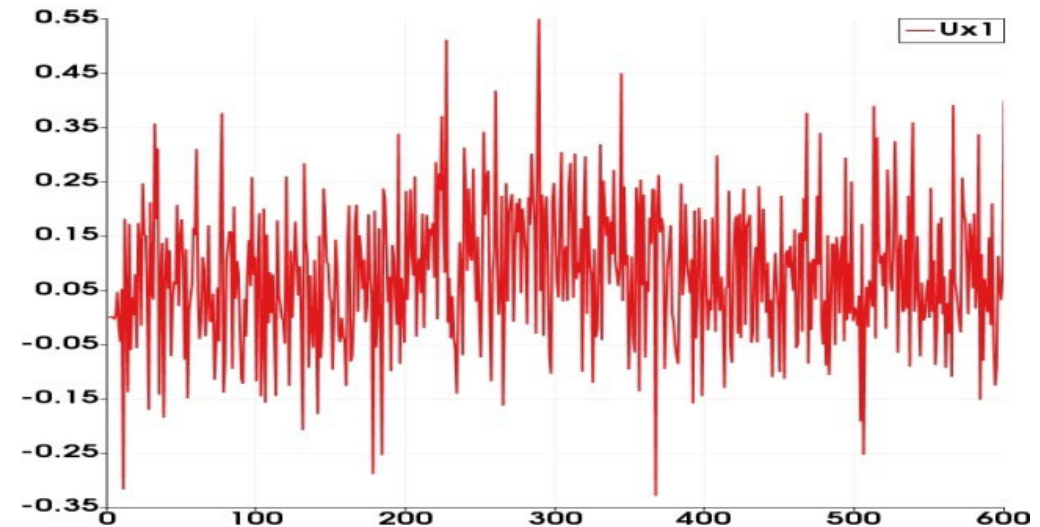
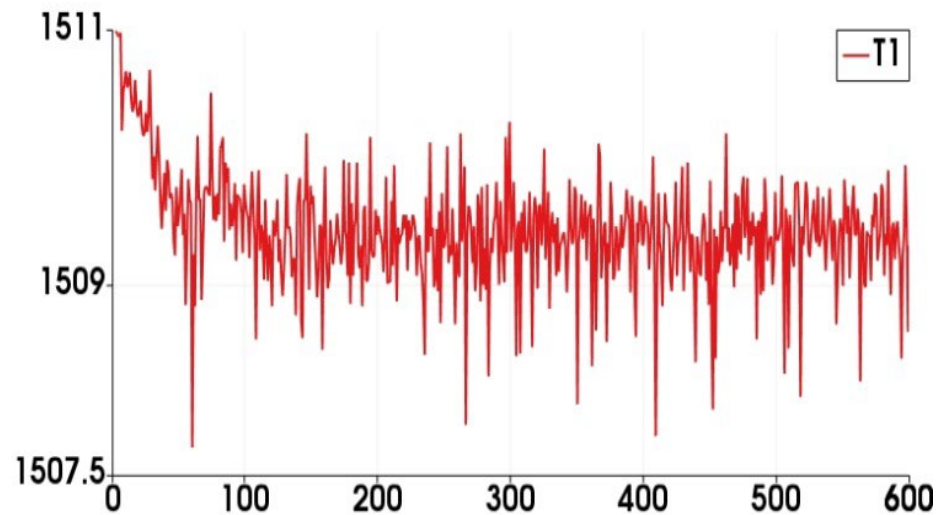
topoSet

Кристалл имеет высоту в 3 ячейки сетки.

Общее количество ячеек расчетной сетки имеет порядок 7000.

На приведенной сетке время одного расчета в 50 оборотов тигля составляет порядка 5 часов на 12 ядрах многопроцессорного комплекса K100.

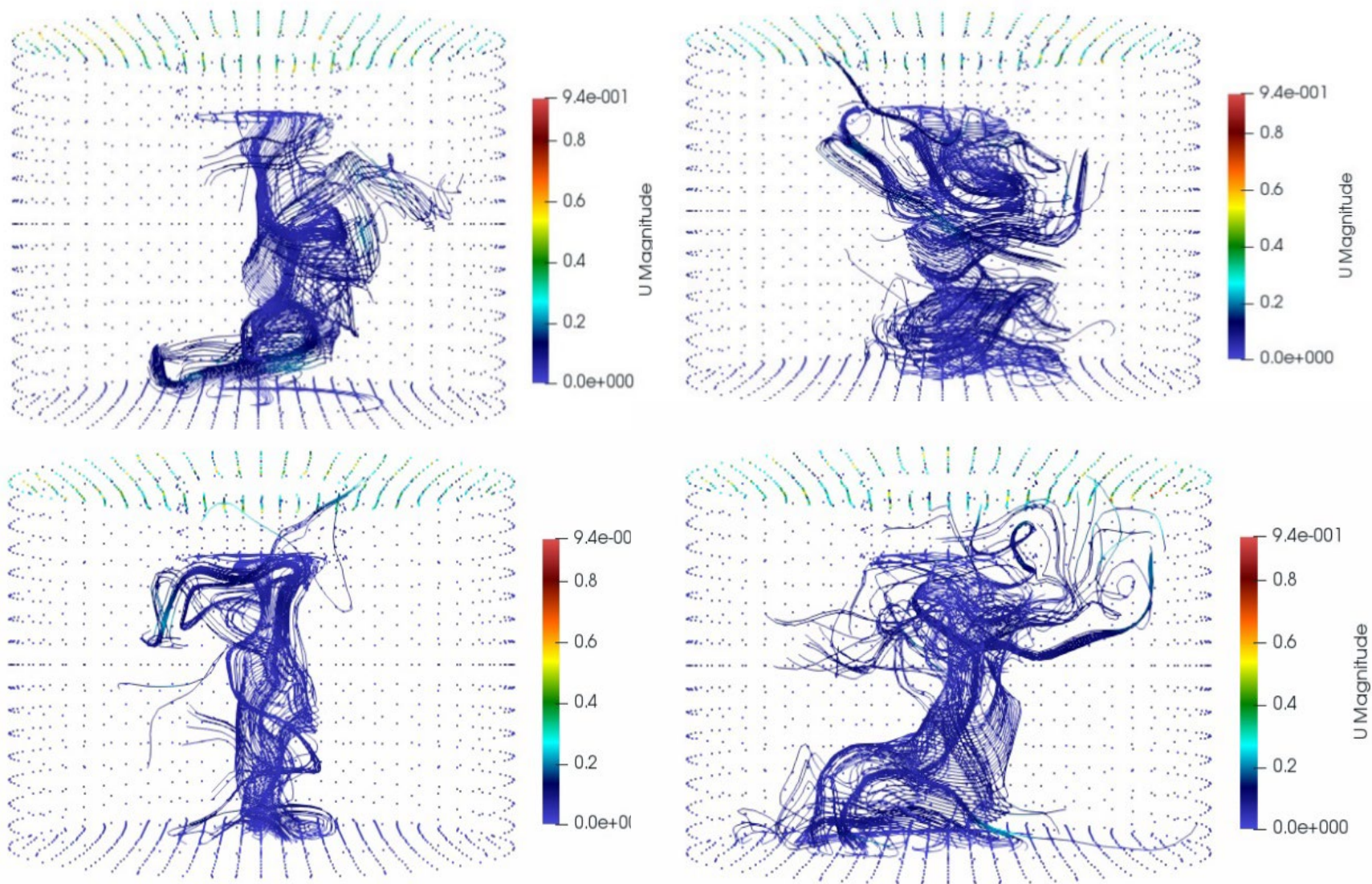
Пример зависимости от времени для температуры T (слева) и компоненты скорости u_x вблизи нижней поверхности растущего кристалла



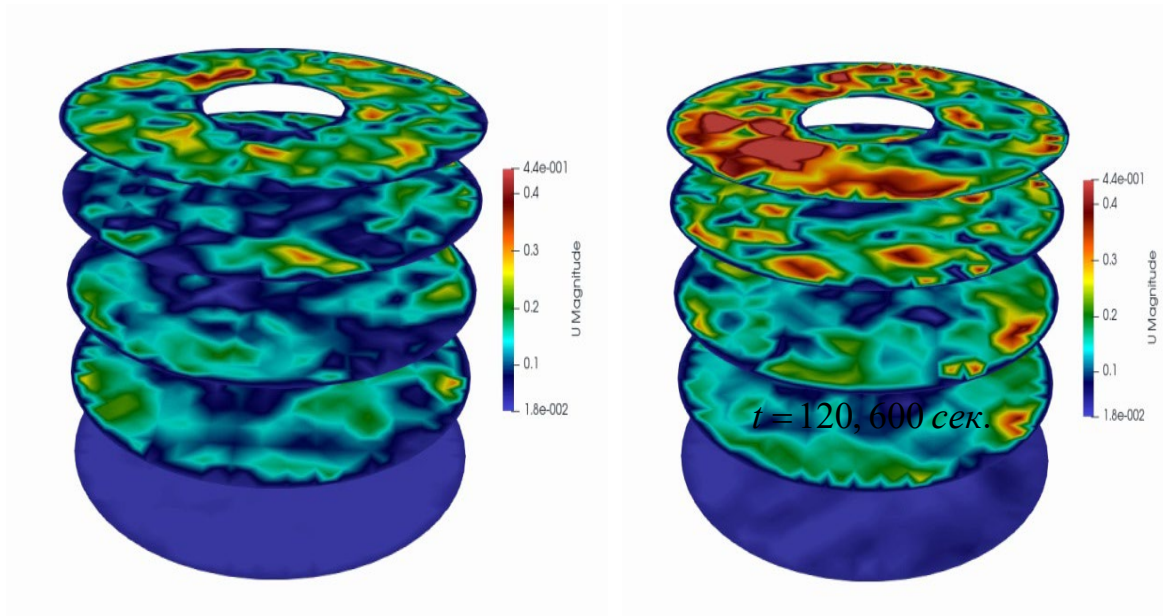
После 5 оборотов тигля картина течения устойчиво нестационарная.

Пример структуры течения

Пространственная картина мгновенных траекторий частиц на моменты времени $t=588, 589, 590$ и 591 с.



Оценка модуля скорости во всем объеме



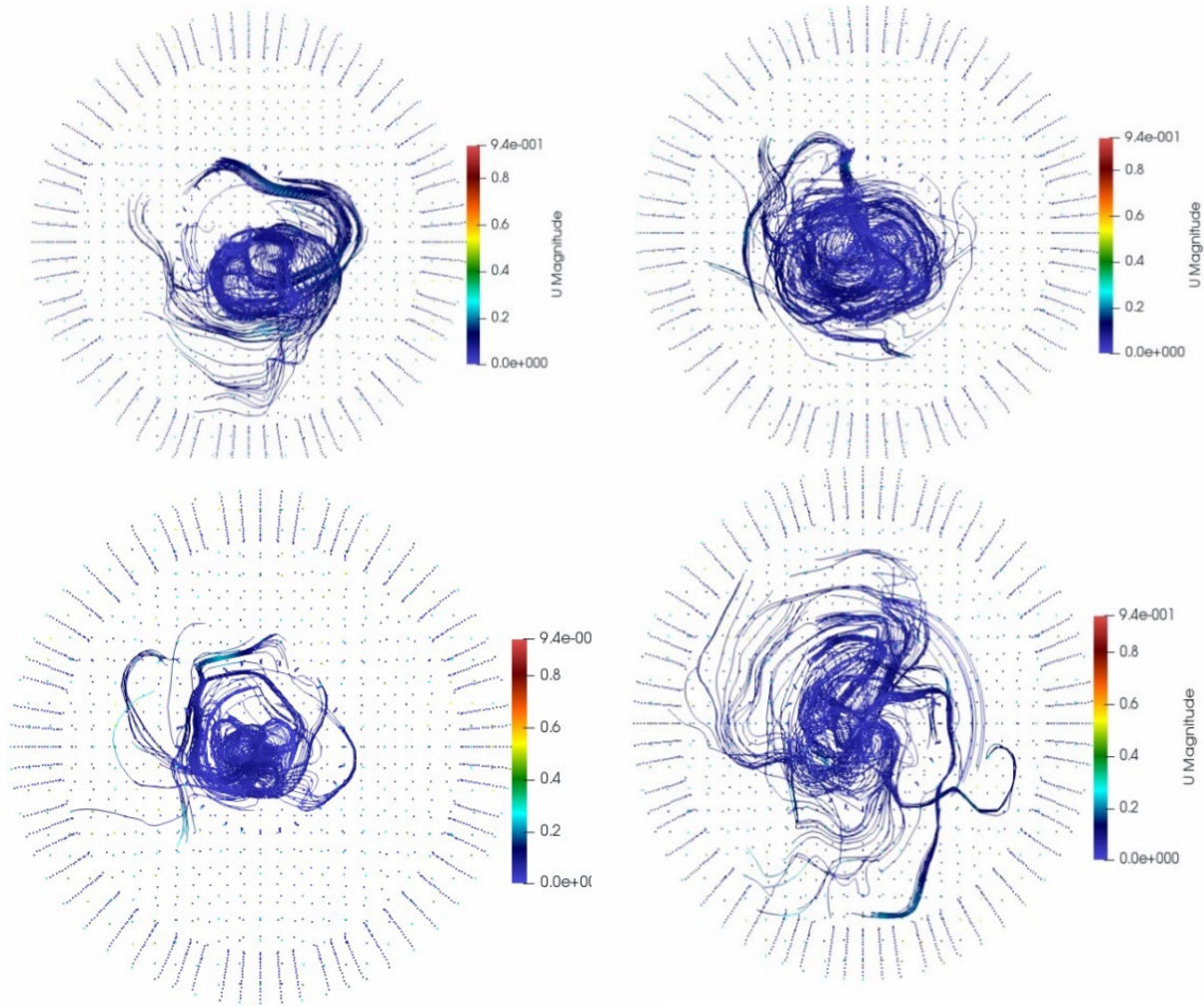
$t = 120, 600 \text{ сек}$

Модуль скорости для 5 срезов $z = 0.001, 0.025, 0.05, 0.075$ и 0.095

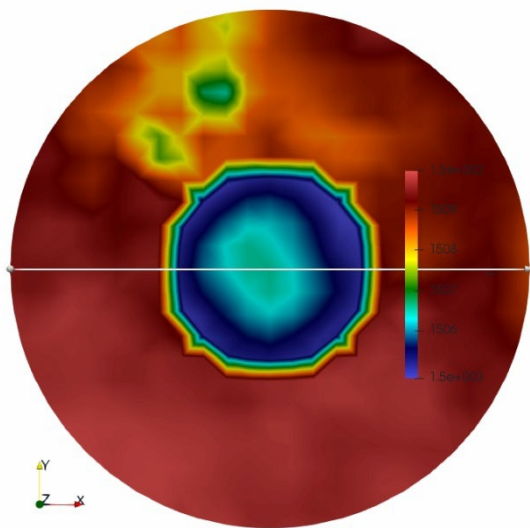
Максимальная скорость 0.44 м/сек.

10 и 50 оборотов тигля. Модуль скорости для 5 срезов.

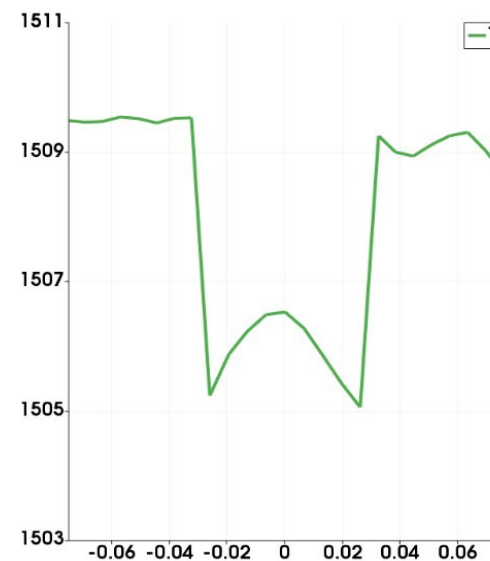
Траектории частиц в азимутальной плоскости на последовательные моменты времени с интервалом в 1 сек.



Пример мгновенного распределения температуры под кристаллом



$$z = 0.076$$



$t=600$

Температура вдоль оси x

Роль тепловой гравитационной и вынужденной конвекций

$$Re = \frac{u_0 R}{\nu} \approx 6 * 10^5$$

$$Gr = \frac{\beta g \Delta T R^3}{\nu^2} \approx 3.4 * 10^6$$

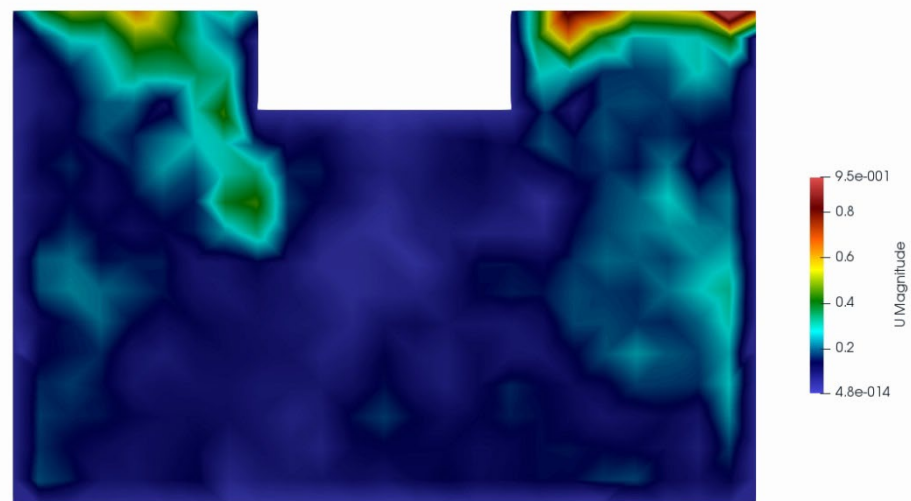
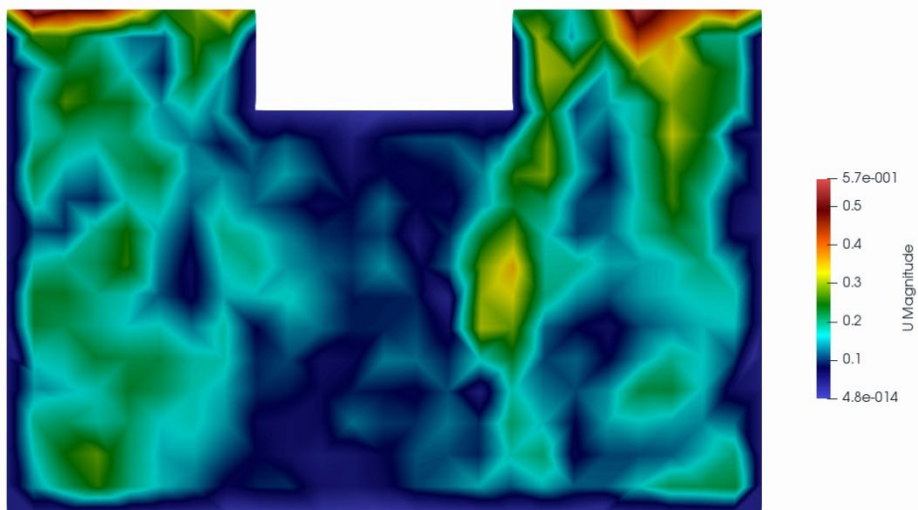
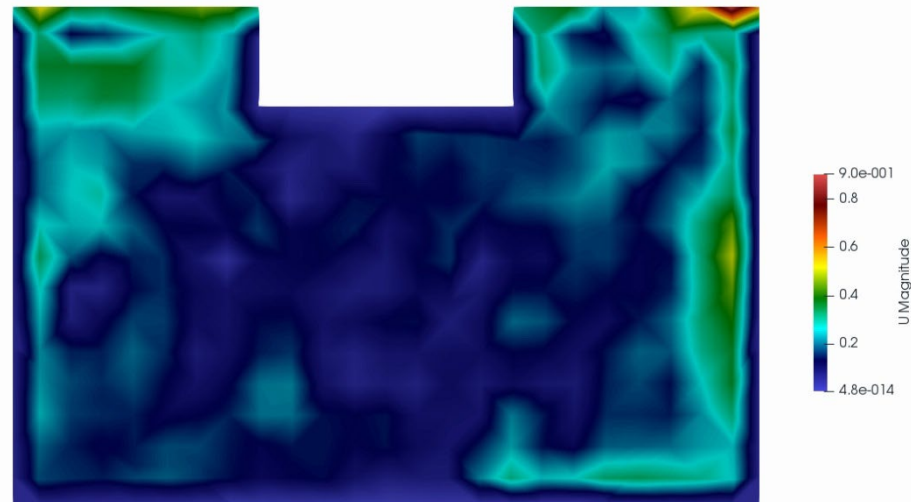
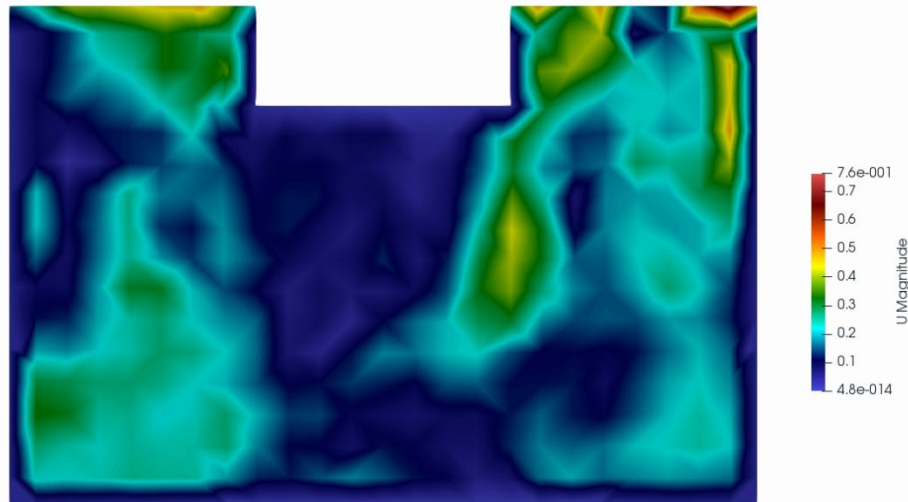
Перенос тепла за счет конвекции преобладает над теплопереносом за счет теплопроводности.

γ - относительная роль гравитационной конвекции по сравнению с вынужденной конвекцией

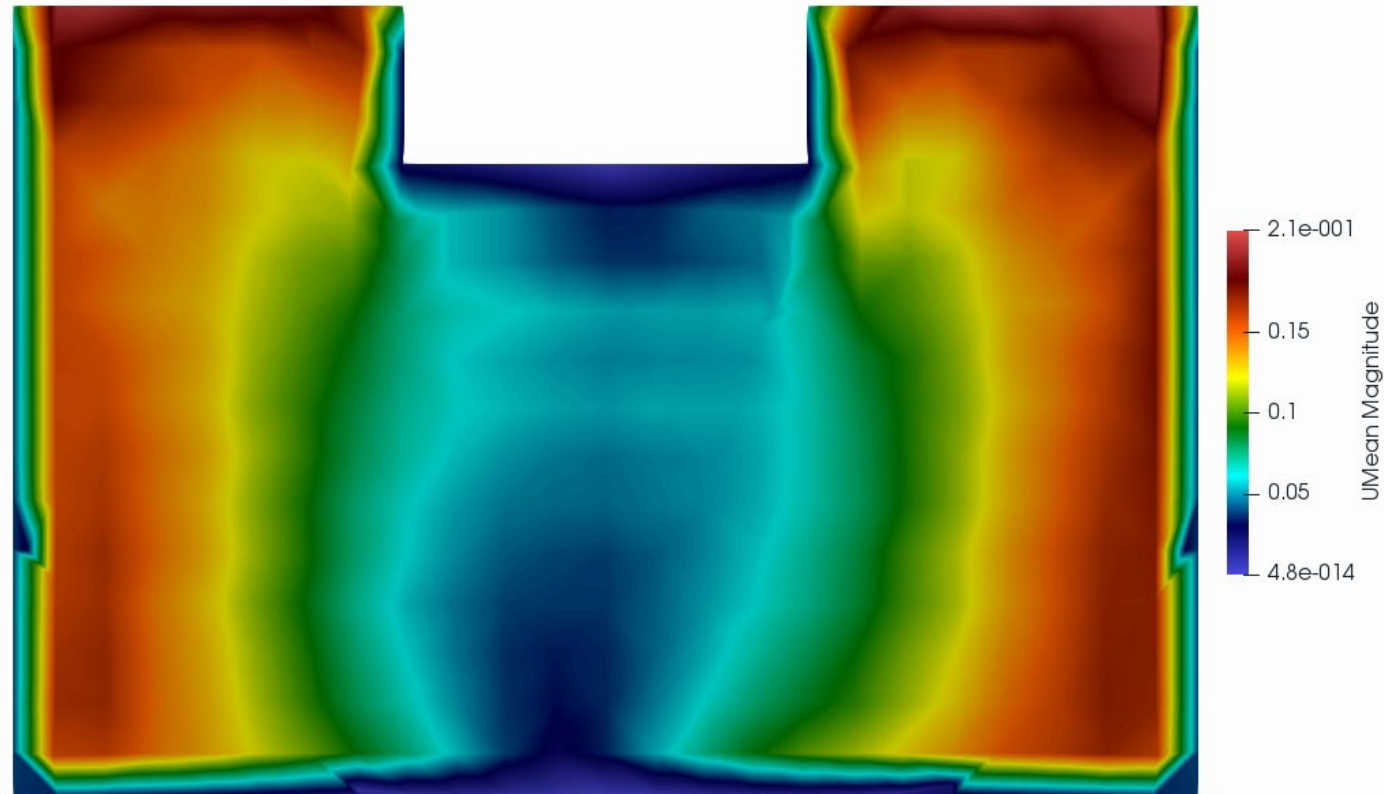
$$\gamma = \frac{Gr}{Re^2} = 10^{-5}$$

При $\gamma > 1$ преобладает тепловая конвекция, в противном случае преобладает вынужденная конвекция, вызванная вращением тигля и кристалла.

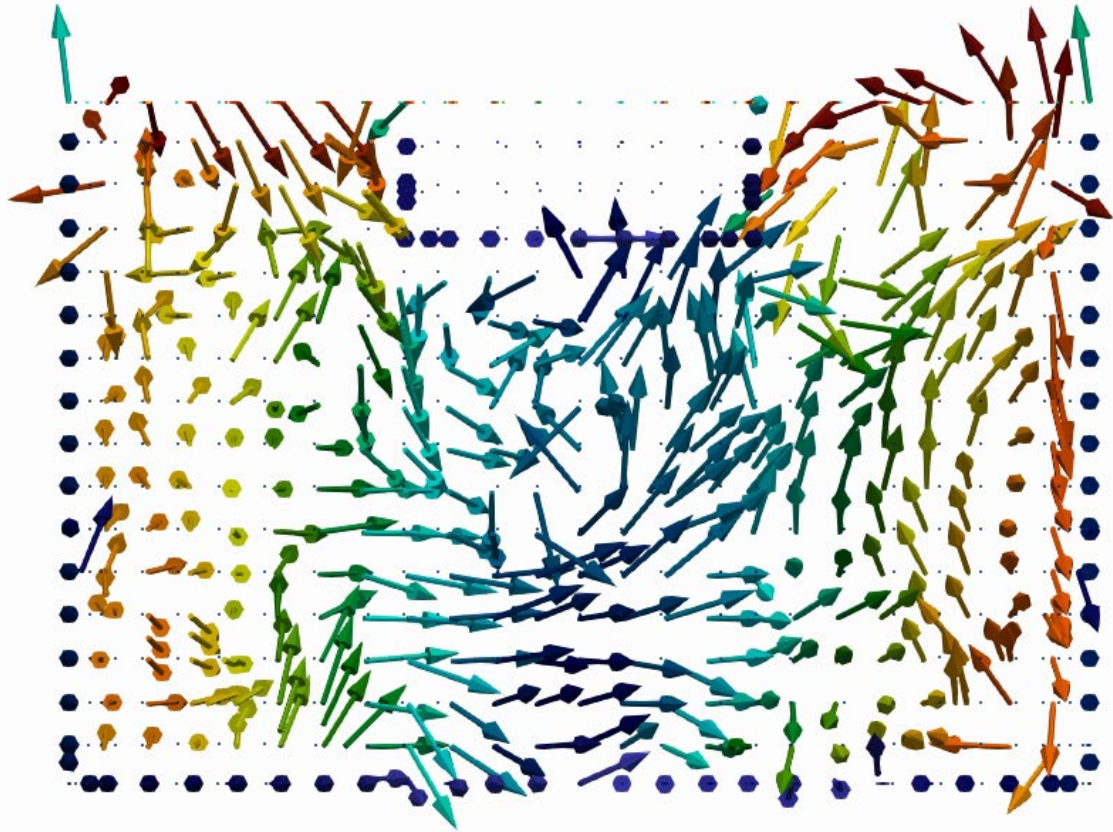
Модуль скорости. $t=1197, 1198, 1199, 1200$



Осредненная скорость на 50 оборотах тигля

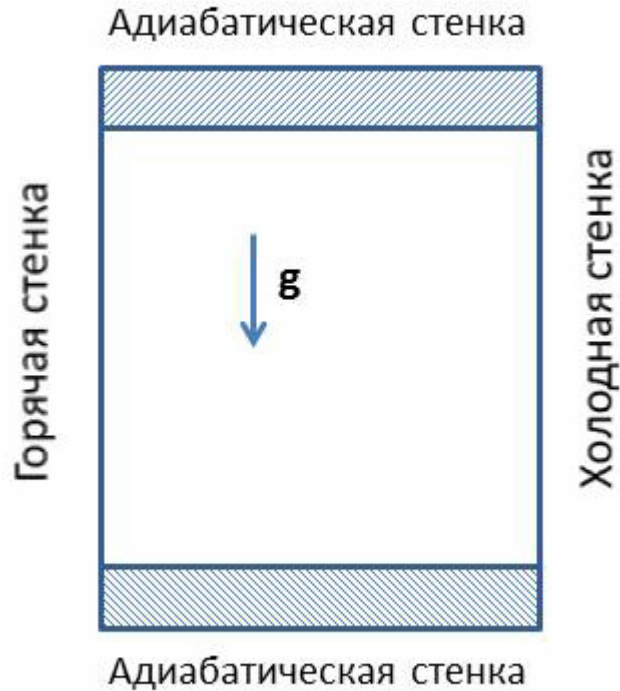


Мгновенная и осредненная картина течения



- В свободном доступе находится кейс ...
- Первый расчет, выполненный для задачи Чохральского, показывает полностью нестационарный характер течения.
- Осредненное течение указывает на тороидальный вихрь и характерные вихри в перпендикулярной плоскости.

Тестирование численного алгоритма на примере задачи о гравитационной конвекции



Расчетная область - квадрат со стороной H .

Система находится в поле силы тяжести $g=9.81$ м/сек².
Сверху и снизу находятся адиабатические стенки.
Слева горячая стенка, справа холодная.

Начальные и граничные условия

Давление p	Скорость \mathbf{U}	Температура T
0	(0,0,0)	20 ° C (293.15 ° K)

	Верхняя и нижняя стенки	Левая горячая стенка	Правая холодная стенка
Давление p	$\frac{\partial p}{\partial \mathbf{n}} = -\beta \rho_0 \vec{g}(T - T_0)$	$\frac{\partial p}{\partial \mathbf{n}} = 0$	$\frac{\partial p}{\partial \mathbf{n}} = 0$
Скорость \mathbf{U}	$\mathbf{U} = (0,0,0)$	$\mathbf{U} = (0,0,0)$	$\mathbf{U} = (0,0,0)$
Температура T	$\frac{\partial T}{\partial \mathbf{n}} = 0$	40° C (313.15 ° K)	0 ° C (273.15 ° K)

$$T_0 = 20^{\circ} \text{C}$$

Размер расчетной области для разных чисел Грасгофа.

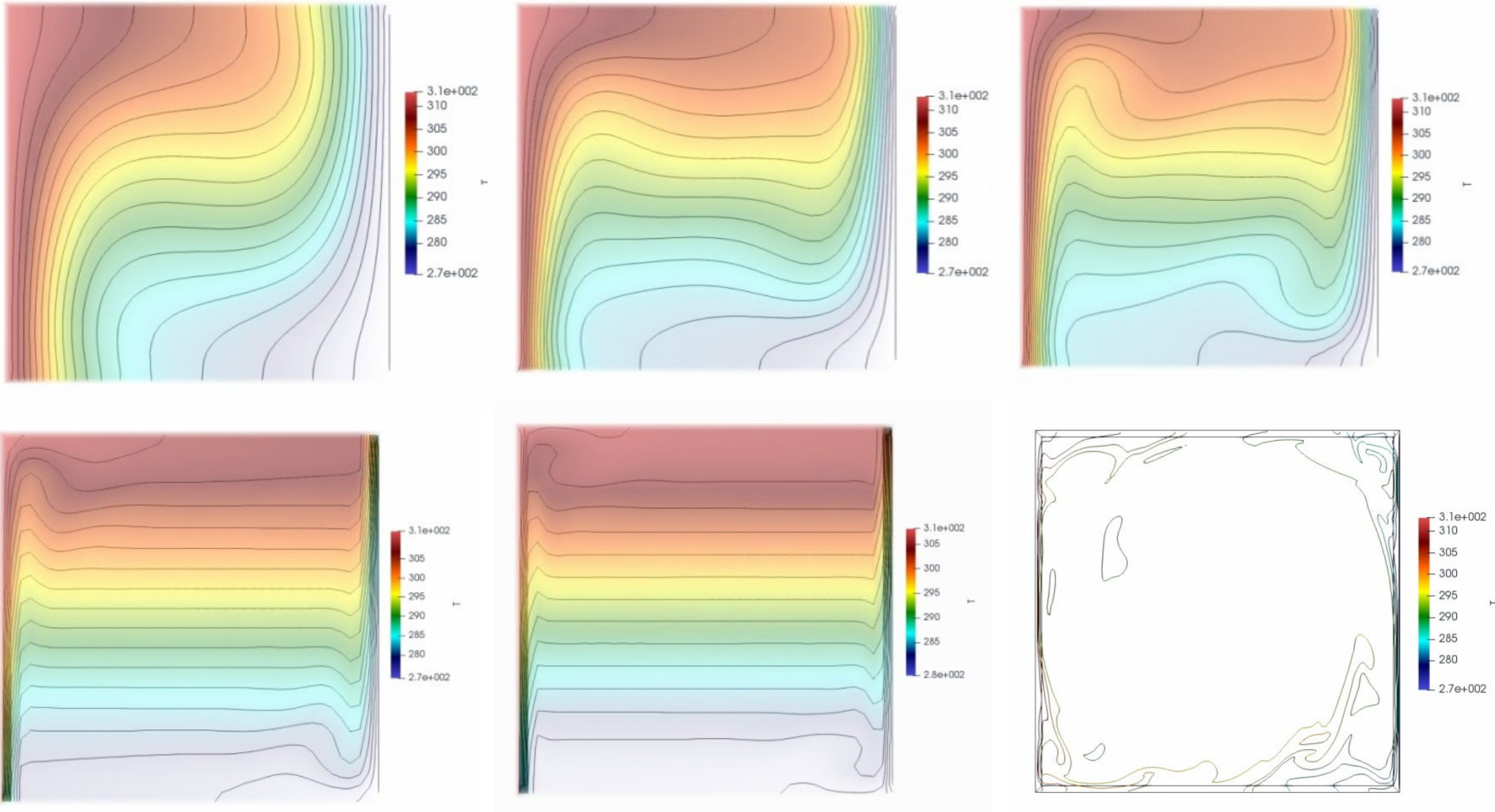
Параметры воздуха в размерном виде, но $Pr=1.0$.

Размер расчетной области для разных чисел Грасгофа.
$$\tau = \frac{1}{Gr} \frac{H^2}{\nu} = \frac{\nu}{\beta g \Delta T H}.$$

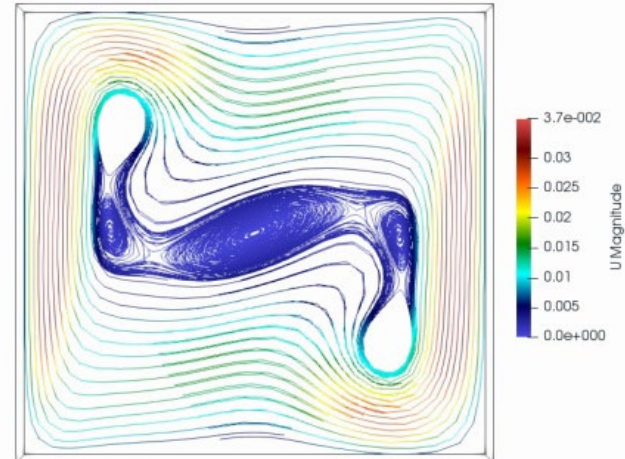
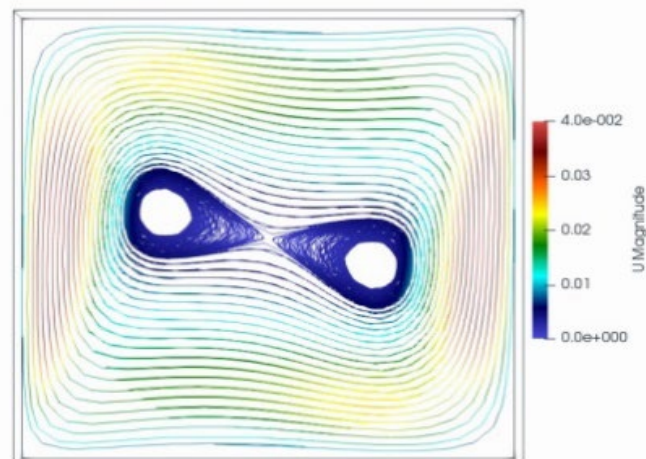
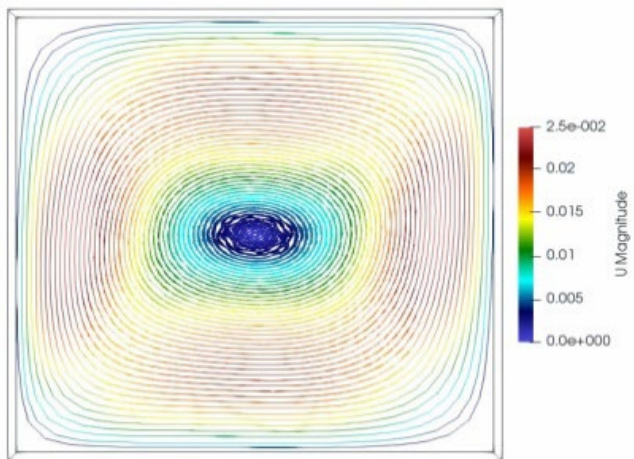
Gr	H, см	τ , сек
10^4	1.190	$9.4 \cdot 10^{-4}$
10^5	2.565	$4.3 \cdot 10^{-4}$
10^6	5.530	$2.0 \cdot 10^{-4}$
10^7	11.900	$9.4 \cdot 10^{-5}$
10^8	25.650	$4.3 \cdot 10^{-5}$
$2 \cdot 10^8$	32.300	$3.5 \cdot 10^{-5}$
10^9	55.300	$2.0 \cdot 10^{-5}$

В расчетах использовались заниженные значения τ .

Изотермы для чисел Грасгофа $Gr = 10^4, 10^5$ при $t = 40$ сек и для $Gr = 10^6, 10^7, 10^8$ при $t = 100$ сек и для $Gr = 2 \cdot 10^8$ при $t = 185$ сек для нестационарного режима

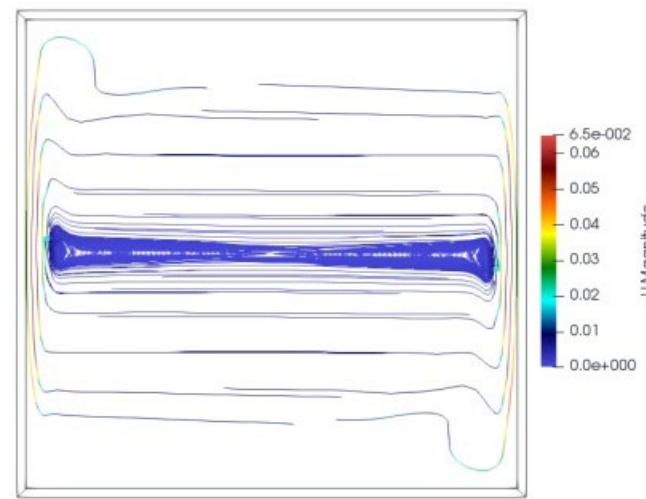
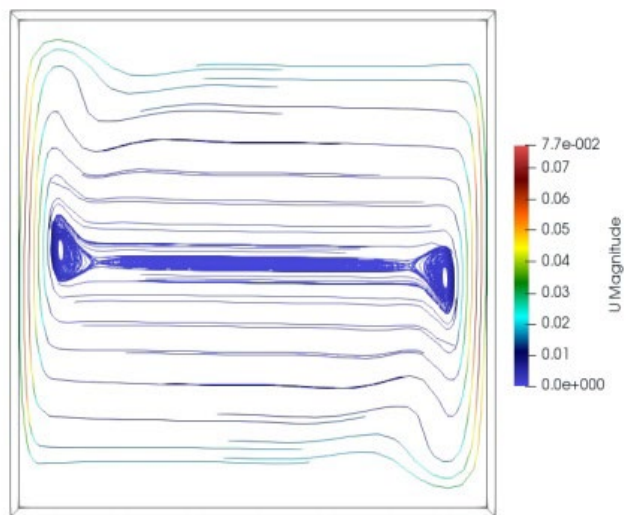


Стационарные течения = Траектории частиц



$$Gr = 10^4, 10^5$$

$t = 40 \text{ сек}$



$$Gr = 10^6, 10^7, 10^8$$

$t = 100 \text{ сек.}$

Установление стационарного режима для $Gr = 10^8$

Распределения в точках

1 и 2 с координатами

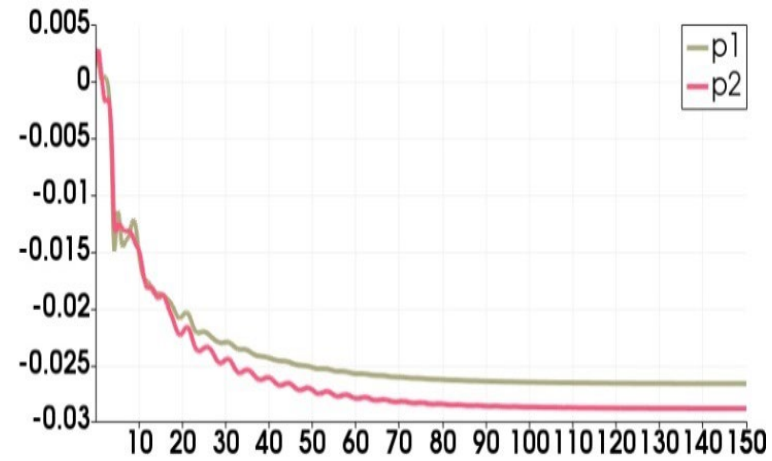
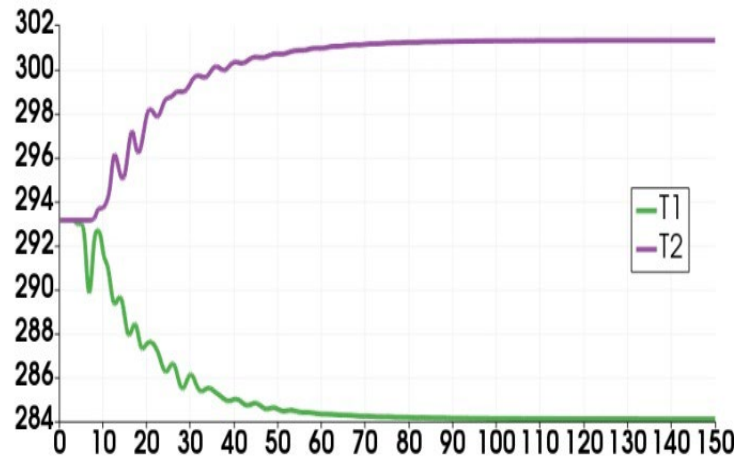
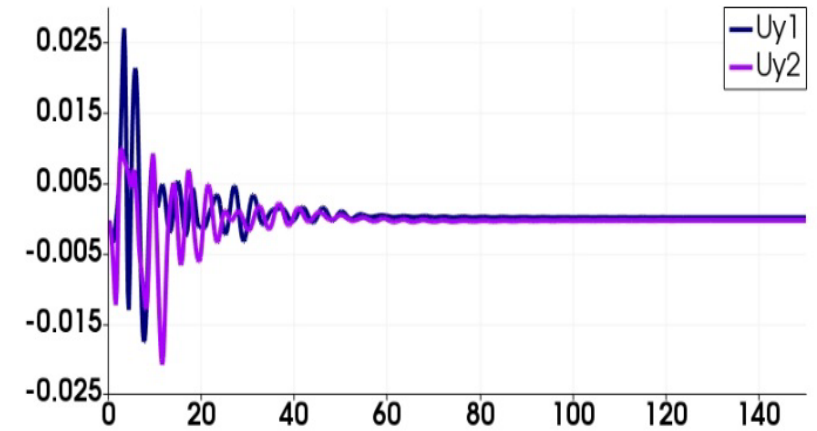
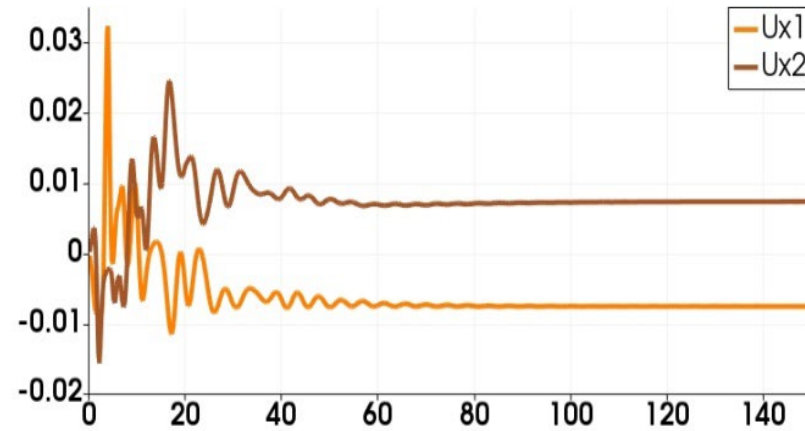
(0.064125 0.064125 0.0)

(0.064125 0.192375 0.0)

Время расчета

$t = 150$ сек.

Сетка 40*40



Сопоставление полученных результатов по скорости течения для максимальной величины горизонтальной скорости

Gr	Максимальная безразмерная горизонтальная скорость \tilde{u}_x (0.5 H, y) по координате y	Максимальная безразмерная горизонтальная скорость \tilde{u}_x , диапазон скоростей для других методов *
10^4	16.02 сетка 40*40	15.967, 15.967-16.2, сетка 101*101
10^5	33.30 сетка 40*40	33.51, 33.39-34.81, сетка 101*101
10^6	52.36 сетка 40*40, 65.40 сетка 80*80, 65.43 сетка 160*160	65.55, 64.6912-65.55, сетка 101*101
10^7	125.11 сетка 40*40	145.06, 139.7-145.266, сетка 301*301
10^8	250.00 сетка 40*40, 281.50 сетка 80*80, 296.52 сетка 160*160	295.67, 283.689-296.71, сетка 301*301

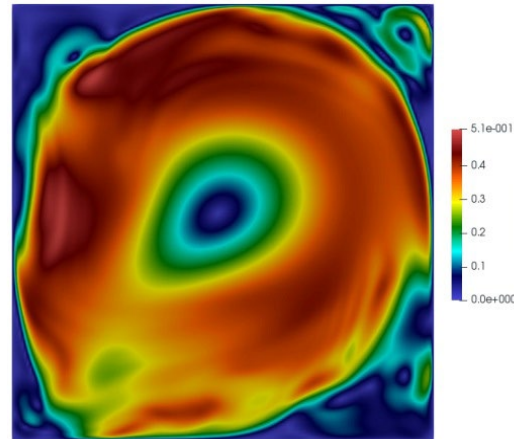
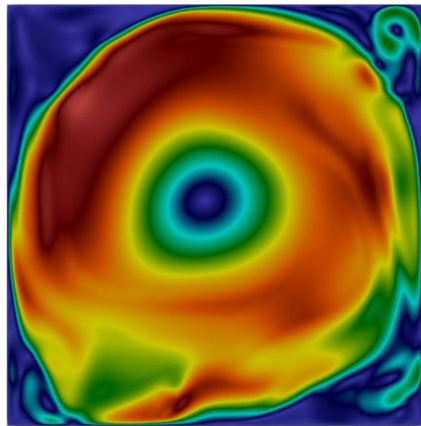
* D. C. Wan, B. S. Patnaik, and G. W. Wei A new benchmark quality solution for the buoyancy-driven cavity by discrete singular convolution // Numerical heat transfer, Part B, 40: 199-228, 2001.

$$Gr = 2 \cdot 10^8$$

282.46 сетка 40*40, 342.95 сетка 80*80

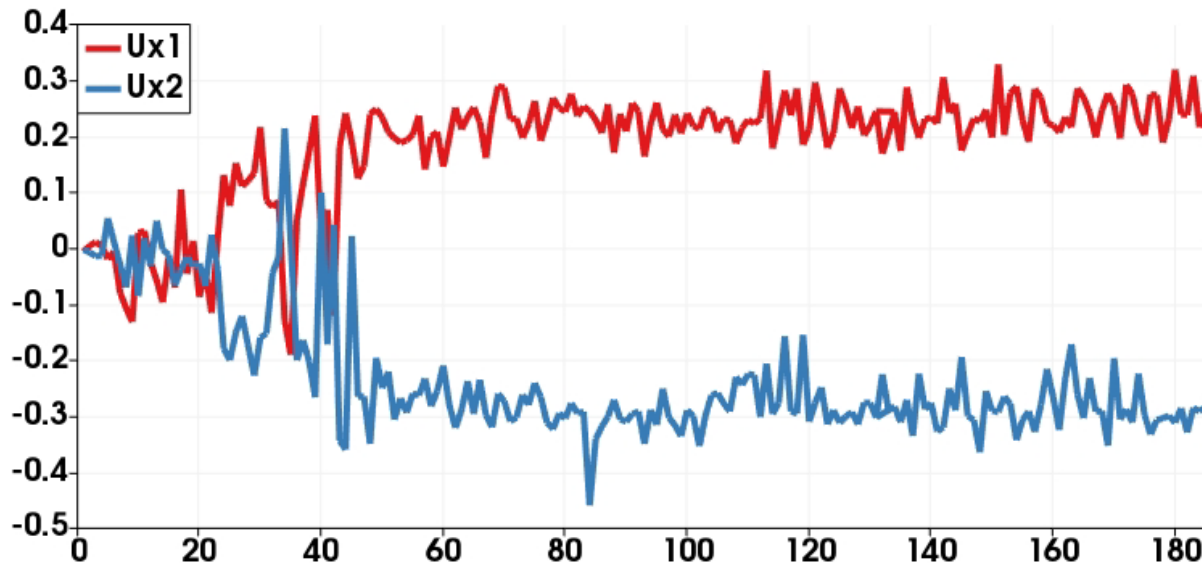
Колебания, сетка 160*160 (старт с расчета 10^6)
Затухающие колебания, сетка 320*320 (старт с 0,
проверить, что будет, если старт с 10^6)

сетка 257*257 **



Сетка 160*160

Модуль скорости на моменты времени $t=182$ и $t=185$ сек.



** Bingxin Zhao, Zhenfu Tian High-resolution high-order upwind compact scheme-based numerical computation of the natural convection flows in a square cavity // International journal of heat and mass transfer. 98 (2016) 313-328.

Благодарю за внимание!

